

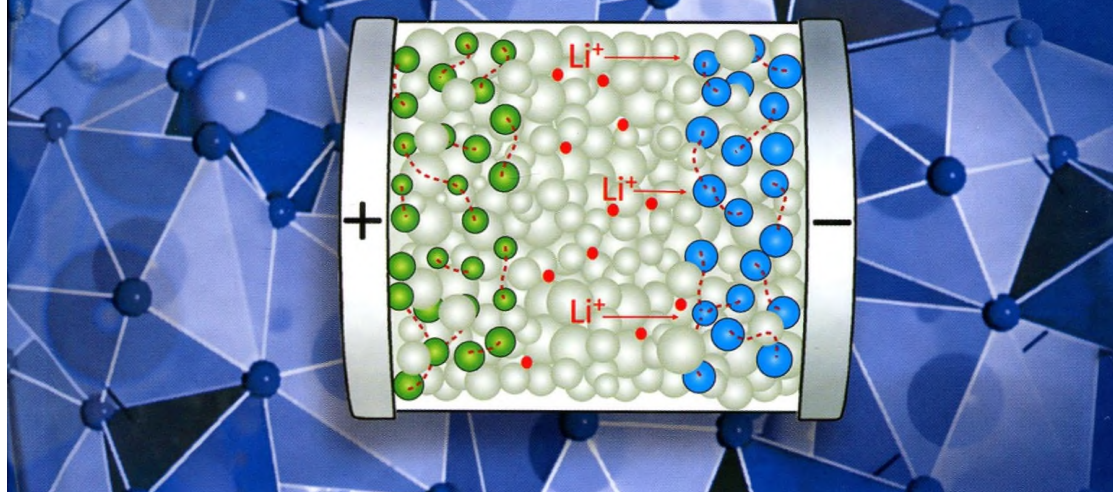
544.6.018

Б43



А.Г. БЕЛОУС,
С.Д. КОБИЛЯНСКАЯ

ОКСИДНЫЕ ЛИТИЙПРОВОДЯЩИЕ ТВЕРДЫЕ ЭЛЕКТРОЛИТЫ



НАЦИОНАЛЬНАЯ
АКАДЕМИЯ НАУК
УКРАИНЫ
ИНСТИТУТ ОБЩЕЙ
И НЕОРГАНИЧЕСКОЙ ХИМИИ
им. В. И. ВЕРНАДСКОГО

NATIONAL
ACADEMY OF SCIENCES
OF UKRAINE

V. I. VERNADSKII INSTITUTE
OF GENERAL AND INORGANIC
CHEMISTRY



A. G. BELOUS, S. D. KOBYLIANSKA

LITHIUM CONDUCTING SOLID OXIDE ELECTROLYTES

*“SCIENTIFIC BOOK”
PROJECT*

KYIV
NAUKOVA DUMKA
2018

А. Г. БЕЛОУС, С. Д. КОБИЛЯНСКАЯ

ОКСИДНЫЕ ЛИТИЙПРОВОДЯЩИЕ ТВЕРДЫЕ ЭЛЕКТРОЛИТЫ

ПРОЕКТ
“НАУКОВА КНИГА”

КИЕВ
НАУКОВА ДУМКА
2018

УДК 544.6.018.462+546.34

В монографии систематизированы литературные данные и результаты, полученные авторами по разработке твердотельных оксидных литийпроводящих материалов с высокой проводимостью, описано их возможное применение в твердотельных литиевых аккумуляторах. Проанализированы результаты исследований кристаллических литийпроводящих материалов на основе оксидных систем со структурами первовскита, NASICON, фаната, LIPON, которые демонстрируют высокую литиевую проводимость. Изложены методы синтеза и изучения электрофизических свойств, описаны некоторые возможные применения указанных материалов в твердотельных электрохимических устройствах.

Для научных сотрудников, инженеров, аспирантов, студентов, занимающихся синтезом, исследованием свойств литийпроводящих материалов и разработкой электрохимических устройств на их основе.

У монофафії систематизовано літературні дані і результати, отримані авторами з розробки твердотільних оксидних літійпровідних матеріалів з високою провідністю, описано їх можливе застосування в твердотільних літієвих акумуляторах. Проаналізовано результати досліджень кристалічних літійпровідних матеріалів на основі оксидних систем зі структурами первовськіту, NASICON, гранату, LIPON, які демонструють високу літіеву провідність. Викладено методи синтезу і вивчення електрофізичних властивостей, описано деякі можливі застосування цих матеріалів у твердотільних електрохімічних пристроях.

Для наукових співробітників, інженерів, аспірантів, студентів, які займаються синтезом, дослідженням властивостей літійпровідних матеріалів та розробкою електрохімічних пристрій на їх основі.

Р е ц е н з е н т ы :

академик НАН України, доктор хіміческих наук,
професор *M. T. Картель*,
член-кореспондент НАН України, доктор техніческих наук,
професор *A. B. Рагуля*

*Рекомендовано к печати ученым советом
Института общей и неорганической химии им. В. И. Вернадского НАН Украины
(протокол № 6 от 26.05.2016 г.)*

***Видання здійснено за кошти Цільової комплексної програми
“Створення та розвиток науково-видавничого комплексу
НАН України”***

Научно-издательский отдел медико-биологической,
химической и геологической литературы

Редактор *H. A. Серебрякова*

© А. Г. Белоус, С. Д. Кобилянская, 2018

© НВП «Видавництво “Наукова думка”

НАН України», дизайн, 2018

ISBN 978-966-00-1614-9

ОГЛАВЛЕНИЕ

ВВЕДЕНИЕ	5
Глава 1. ЛИТИЙПРОВОДЯЩИЕ МАТЕРИАЛЫ СО СТРУКТУРОЙ ПЕРОВСКИТА.....	9
1.1. Стабилизация структуры перовскита титанатов лантана ионами щелочных металлов	9
1.2. Кристаллическая структура $\text{Li}_{3x}\text{La}_{2/3-x}\text{TiO}_3$	11
1.3. Синтез литийпроводящих материалов $\text{Li}_{3x}\text{La}_{2/3-x}\text{TiO}_3$	16
1.3.1. Метод твердофазных реакций.....	16
1.3.2. Методы осаждения	21
1.3.3. Синтез наночастиц $\text{Li}_{3x}\text{La}_{2/3-x}\text{TiO}_3$ золь-гель-методом	27
1.3.4. Синтез наночастиц $\text{Li}_{0.5}\text{La}_{0.5}\text{TiO}_3$ из микрозмульсий	30
1.3.5. Синтез монокристаллического $\text{Li}_{0.27}\text{La}_{0.59}\text{TiO}_3$	33
1.4. Свойства литийпроводящих материалов $\text{Li}_{3x}\text{La}_{2/3-x}\text{TiO}_3$	33
1.4.1. Электропроводимость.....	33
1.4.2. Влияние ионов натрия и калия на диэлектрические спектры $\text{M}_{3x}\text{La}_{2/3-x}\text{TiO}_3$ (M - Na, K).....	41
1.4.3. Колебательные спектры соединений $\text{La}_{2/3-x}\text{M}_{3x}\text{TiO}_3$	46
1.5. Возможные области применения перовскитов $\text{Li}_{3x}\text{La}_{2/3-x}\text{TiO}_3$	49
1.5.1. Твердотельный электрод сравнения.....	49
1.5.2. Термостабильные сверхвысокочастотные диэлектрики	52
1.6. Ниобаты и tantalаты лития-лантана со структурой дефектного перовскита $\text{Li}_{3x}\text{La}_{2/3-x}\square_{4/3-2x}\text{M}_2\text{O}_6$ (M - Nb, Ta)	53
1.6.1. Кристаллическая структура $\text{Li}_{3x}\text{La}_{2/3-x}\square_{4/3-2x}\text{M}_2\text{O}_6$ (M - Nb, Ta).....	53
1.6.2. Влияние условий синтеза на нестехиометрию по литию твер- дых растворов $\text{Li}_{3x}\text{La}_{2/3-x}\square_{4/3-2x}\text{M}_2\text{O}_6$ (M - Nb, Ta) со структурой де- фектного перовскита	55
1.6.3. Влияние замещений в A-позициях перовскитов $\text{Li}_{3x-y}\text{La}_{2/3-x-y}\text{Sr}_{2y}\square_{4/3-2x}\text{Nb}_2\text{O}_6$ на структурные особенности и ионную проводимость	59
1.6.4. Структурные особенности и природа ионной проводимости в системе $\text{Li}_{0.5-y}\text{Na}_y\text{La}_{0.5}\square\text{Nb}_2\text{O}_6$ ($0 \leq y \leq 0,5$)	60

Оглавление

1.6.5. Влияние интеркаляционных процессов на структуру и электрофизические свойства литийпроводящих соединений со структурой дефектного перовскита	66
Глава 2. ЛИТИЙПРОВОДЯЩИЕ МАТЕРИАЛЫ СО СТРУКТУРОЙ NASICON 74	
2.1. Особенности кристаллической структуры NASICON 75	
2.1.1. Кристаллическая структура натрийсодержащих материалов $\text{Na}_{1+x}\text{Zr}_2\text{P}_{3-x}\text{Si}_x\text{O}_{12}$ со структурой NASICON 75	
2.1.2. Кристаллическая структура литийсодержащих материалов со структурой NASICON 76	
2.2. Методы синтеза литийпроводящих материалов со структурой NASICON 82	
2.2.1. Метод твердофазных реакций..... 82	
2.2.2. Золь-гель-метод..... 82	
2.2.3. Метод “быстрого формирования” (“flash creation method”) 83	
2.2.4. Метод соосаждения 85	
2.2.5. Высокоэнергетический помол (“high-energy ball-milling”) 85	
2.2.6. Получение объемных образцов методом литья..... 86	
2.2.7. Получение объемных образцов методом спекания в плазме 87	
2.2.8. Получение объемных образцов методом горячего прессования..... 88	
2.2.9. Методы получения пленочных материалов 90	
2.3. Электрофизические свойства материалов со структурой NASICON 95	
2.3.1. Электрофизические свойства $\text{Na}_{1+x}\text{Zr}_2\text{P}_{3-x}\text{Si}_x\text{O}_{12}$ 95	
2.3.2. Электрофизические свойства литийсодержащих материалов со структурой NASICON 95	
2.3.3. Анализ электрофизических свойств систем $\text{LiM}_2(\text{PO}_4)_3$ 100	
Глава 3. ЛИТИЙПРОВОДЯЩИЕ МАТЕРИАЛЫ СО СТРУКТУРОЙ ГРАНАТА 105	
3.1. Особенности кристаллической структуры граната 105	
3.1.1. Кубическая структура граната 106	
3.1.2. Тетрагональная структура граната..... 108	
3.1.3. Положение лития в структуре граната..... 109	
3.1.4. Влияние катионных замещений на свойства гранатов..... 111	
3.2. Методы синтеза литийпроводящих материалов со структурой граната..... 117	
3.2.1. Метод твердофазных реакций..... 117	
3.2.2. Золь-гель-метод синтеза..... 120	
3.2.3. Метод осаждения 121	
3.2.4. Синтез монокристаллов 122	
3.3. Электрофизические свойства литийпроводящих гранатов 124	
3.3.1. Литий-ионная проводимость в гранатах $\text{Li}_3\text{Ln}_3\text{Te}_2\text{O}_{12}$ 124	
3.3.2. Литий-ионная проводимость в гранатах $\text{Li}_5\text{La}_3\text{M}_2\text{O}_{12}$ 126	
3.3.3. Литий-ионная проводимость в гранатах $\text{Li}_7\text{La}_3\text{M}_2\text{O}_{12}$ 127	
3.3.4. Механизм литий-ионной проводимости в обогащенных литием гранатах 129	
3.4. Оптические свойства материалов со структурой граната..... 133	

Оглавление

<i>Глава 4. ОКСИНИТРИД ФОСФАЛАТИЯ</i>	134
4.1. Кристаллическая структура оксинитрида фосфата лития.....	138
4.2. Методы синтеза пленок LIPON	140
4.2.1. Метод высокочастотного магнетронного напыления	141
4.2.2. Метод азотного ионно-лучевого напыления пленок LIPON.....	153
4.2.3. Метод импульсного лазерного напыления пленок LIPON	153
4.2.4. Метод получения пленок LIPON плазменным осаждением реакционной смеси, испаренным электронным пучком (plasma- assisted deposition of E-beam reaction evaporation)	154
4.2.5. Метод получения пленок LIPON плазменным направленным осаждением из паровой фазы (plasma-assisted directed vapor deposition)	155
4.3. Получение объемных оксинитридов фосфата лития (в виде стекол).....	157
4.4. Особенности структуры тонких пленок оксинитрида фосфата лития	162
4.5. Возможные области применения тонких пленок оксинитрида фосфата лития	167
<i>Глава 5. ТВЕРДОТЕЛЬНЫЕ ЛИТИЕВЫЕ АККУМУЛЯТОРЫ</i>	171
5.1. Анодные материалы	173
5.1.1. Недостатки анодных материалов.....	175
5.2. Катодные материалы	176
5.2.1. Катодные материалы на основе диоксидов переходных ме- таллов	177
5.2.2. Катодные материалы на основе халькогенидов металлов	180
5.2.3. Катодные материалы на основе LiFePO ₄	180
5.2.4. Катодные материалы на основе LiMn ₂ O ₄	181
5.2.5. Катодные материалы на основе оксидов V ₂ O ₅	184
5.3. Твердые электролиты	184
5.4. Натриевые аккумуляторы	187
<i>Глава 6. МОНОЛИТНЫЕ ТВЕРДОТЕЛЬНЫЕ ЛИТИЕВЫЕ АККУМУЛЯТОРЫ НА ОСНОВЕ СУЛЬФИДНЫХ ТВЕРДЫХ ЭЛЕКТРОЛИТОВ</i>	190
6.1. Анодные материалы для твердотельных монолитных литиевых ак- кумуляторов на основе сульфидов.....	190
6.2. Катодные материалы для монолитных твердотельных литиевых ак- кумуляторов	193
6.3. Твердые электролиты на основе сульфидов и окиссульфидов.....	197
<i>Глава 7. ТОЛСТОПЛЕНОЧНЫЕ ЛИТИЕВЫЕ АККУМУЛЯТОРЫ НА ОСНОВЕ СЛОЖНЫХ ОКСИДНЫХ СИСТЕМ</i>	200
7.1. Толстопленочные литиевые аккумуляторы с твердым электролитом на основе Li _{3x} La _{2/3-x} TiO ₃	201
7.2. Толстопленочные литиевые аккумуляторы с твердым электролитом на основе Li _{1,3} Ti _{1,7} Al _{0,3} (PO ₄) ₃	203
7.3. Толсто пленочные литиевые аккумуляторы с твердым электролитом на основе граната	205

Оглавление

Глава 8. ТОНКОПЛЕНОЧНЫЕ ЛИТИЕВЫЕ АККУМУЛЯТОРЫ НА ОСНОВЕ ОКСИДОВ	212
8.1. Анодные материалы для тонкопленочных аккумуляторов	216
8.1.1. Аноды, работающие на основе реакций преобразования	216
8.2. Катодные материалы для тонкопленочных аккумуляторов	221
8.2.1. Катодные материалы типа LiMO, работающие на основе реакций интеркаляции	221
8.2.2. Тонкопленочные электроды со структурой оливина	223
8.2.3. Катоды на основе углеродных тонких пленок	223
8.3. Свойства интерфейса тонкопленочных электрода/электролита	224
8.4. Твердотельные тонкопленочные литиевые аккумуляторы и их основные характеристики.....	225
Глава 9. ЛИТИЙ-ВОЗДУШНЫЕ АККУМУЛЯТОРЫ.....	228
9.1. Принцип работы литий-воздушного аккумулятора.....	228
9.2. Полимерные и полимер-керамические композиты, применяемые в литий-воздушном аккумуляторе	234
9.3. Неорганические материалы на основе неоксидных систем, применяемые в литий-воздушном аккумуляторе.....	235
9.4. Неорганические материалы на основе оксидных систем, применяемые в литий-воздушном аккумуляторе.....	236
9.4.1. Оксиды со структурой первовскита, применяемые в литий-воздушном аккумуляторе	237
9.4.2. Оксиды со структурой NASICON, применяемые в литий-воздушном аккумуляторе	239
9.4.3. Оксиды со структурой граната, применяемые в литий-воздушном аккумуляторе	242
9.4.4. Оксинитрид фосфата лития, применяемый в литий-воздушном аккумуляторе	242
9.4.5. Защитные мембранны, применяемые для предотвращения контакта керамической мембранны с анодом.....	243
9.5. Особенности конструкции литий-воздушного аккумулятора.....	245
9.5.1. Проблемы воздушного электрода.....	247
9.5.2. Проблемы, связанные с анодом и электролитом.....	251
9.5.3. Фильтрация воздуха от паров воды.....	254
9.5.4. Удельная мощность литий-воздушного аккумулятора	255
9.6. Лабораторные примеры литий-воздушных аккумуляторов	257
9.7. Пути дальнейших исследований литий-воздушных аккумуляторов	263
ЗАКЛЮЧЕНИЕ	265
SUMMARY	267
СПИСОК ПРИНЯТЫХ СОКРАЩЕНИЙ.....	269
СПИСОК ЛИТЕРАТУРЫ	271

CONTENTS

INTRODUCTION.....	5
<i>Chapter 1. LITHIUM ION CONDUCTING MATERIALS WITH PEROVSKITE STRUCTURE</i>	9
1.1. Perovskite structure stabilization of lanthanum titanates with alkali ions.....	9
1.2. Crystal structure of $\text{Li}_{3x}\text{La}_{2/3-x}\text{TiO}_3$	11
1.3. Synthesis of lithium ion conducting $\text{Li}_{3x}\text{La}_{2/3-x}\text{TiO}_3$ materials	16
1.3.1. Solid-state reaction method	19
1.3.2. Precipitation method.....	21
1.3.3. Sol-gel synthesis of $\text{Li}_{3x}\text{La}_{2/3-x}\text{TiO}_3$ nanoparticles	27
1.3.4. Synthesis of $\text{Li}_{3x}\text{La}_{2/3-x}\text{TiO}_3$ nanoparticles from microemulsions	30
1.3.5. Synthesis of $\text{Li}_{3x}\text{La}_{2/3-x}\text{TiO}_3$ single crystals	33
1.4. Properties of lithium ion conducting $\text{Li}_{3x}\text{La}_{2/3-x}\text{TiO}_3$ materials	33
1.4.1. Electrical conductivity.....	33
1.4.2. Effect of sodium and potassium ions on dielectric spectra of $\text{M}_{3x}\text{La}_{2/3-x}\text{TiO}_3$ (M - Na, K)	41
1.4.3. Vibration spectra of $\text{La}_{2/3-x}\text{M}_{3x}\text{TiO}_3$ compounds	46
1.5. Possible applications of $\text{Li}_{3x}\text{La}_{2/3-x}\text{TiO}_3$ perovskites.....	49
1.5.1. Solid-state reference electrode	49
1.5.2. Thermostable MW dielectrics.....	52
1.6. Lanthanum-lithium niobates and tantalates with defect $\text{Li}_{3x}\text{La}_{2/3-x}\square_{4/3-2x}\text{M}_2\text{O}_6$ perovskite structure (M – Nb, Ta).....	53
1.6.1. Crystal structure of $\text{Li}_{3x}\text{La}_{2/3-x}\square_{4/3-2x}\text{M}_2\text{O}_6$ (M – Nb, Ta).....	53
1.6.2. Effect of synthesis conditions on the lithium nonstoichiometry of $\text{Li}_{3x}\text{La}_{2/3-x}\square_{4/3-2x}\text{M}_2\text{O}_6$ solid solutions (M – Nb, Ta) with defect perovskite structure	55
1.6.3. Effect of substitutions in the A positions of $\text{Li}_{3x-y}\text{La}_{2/3-x-y}\text{Sr}_{2y}\square_{4/3-2x}\text{Nb}_2\text{O}_6$ perovskites on structure peculiarities and ionic conductivity	59
1.6.4. Structure peculiarities and the nature of ionic conduction in the $\text{Li}_{0.5-y}\text{Na}_y\text{La}_{0.5}\square\text{Nb}_2\text{O}_6$ system ($0 \leq y \leq 0.5$).....	60
1.6.5. Effect of intercalation processes on the structure and electrophysical properties of lithium ion conducting compounds with defect-perovskite structure	66
<i>Chapter 2. LITHIUM ION CONDUCTING MATERIALS WITH NASICON STRUCTURE</i>	74
2.1. Peculiarities of the NASICON crystal structure.....	75
2.1.1. Crystal structure of sodium-containing $\text{Na}_{1-x}\text{Zr}_2\text{P}_{3-x}\text{Si}_x\text{O}_{12}$ materials with NASICON structure	75

Contents

2.1.2. Crystal structure of lithium-containing materials with NASICON structure	76
2.2. Methods for the synthesis of lithium ion conducting materials with NASICON structure	82
2.2.1. Solid-state reaction method	82
2.2.2. Sol-gel method.....	82
2.2.3. Flash creation method.....	83
2.2.4. Co-precipitation method	85
2.2.5. High-energy ball milling.....	85
2.2.6. Preparation of bulk samples by casting.....	86
2.2.7. Preparation of bulk samples by plasma sintering	87
2.2.8. Preparation of bulk samples by hot pressing.....	88
2.2.9. Methods for the preparation of film materials.....	89
2.3. Electophysical properties of materials with NASICON structure	95
2.3.1. Electophysical properties of $\text{Na}_{1+x}\text{Zr}_2\text{P}_{3-x}\text{Si}_x\text{O}_{12}$	95
2.3.2. Electophysical properties of lithium-containing materials with NASICON structure	95
2.3.3. Analysis of the electophysical properties of $\text{LiM}_2(\text{PO}_4)_3$ systems.....	100
 <i>Chapter 3. LITHIUM ION CONDUCTING MATERIALS WITH GARNET STRUCTURE</i>	
3.1. Peculiarities of the garnet crystal structure	105
3.1.1. Cubic garnet structure	106
3.1.2. Tetragonal garnet structure.....	108
3.1.3. Position of lithium in the garnet structure	109
3.1.4. Effect of cation substitutions on the properties of garnets.....	111
3.2. Methods for the synthesis of lithium ion conducting materials with garnet structure.....	117
3.2.1. Solid-state reaction method	117
3.2.2. Sol-gel synthesis method	120
3.2.3. Precipitation method.....	121
3.2.4. Synthesis of single crystals.....	122
3.3. Electophysical properties of lithium ion conducting garnets.....	124
3.3.1. Lithium ion conduction in $\text{Li}_3\text{Ln}_3\text{Te}_2\text{O}_{12}$ garnets	124
3.3.2. Lithium ion conduction in $\text{Li}_5\text{La}_3\text{M}_2\text{O}_{12}$ garnets	126
3.3.3. Lithium ion conduction in $\text{Li}_7\text{La}_3\text{M}_2\text{O}_{12}$ garnets	127
3.3.4. Lithium ion conduction mechanism in lithium-rich garnets	129
3.4. Optical properties of materials with garnet structure.....	133
 <i>Chapter 4. LITHIUM PHOSPHATE OXYNITRIDE</i>	
4.1. Crystal structure of lithium phosphate oxynitride	134
4.2. Methods for the synthesis of LIPON films	138
4.2.1. High-frequency magnetron sputtering method	140
4.2.2. Nitrogen ion-beam sputtering method of LIPON films	141
4.2.3. Pulsed laser deposition method of LIPON films	153
4.2.4. Method of plasma-assisted deposition of E-beam reaction evaporation	154
4.2.5. Plasma-assisted directed vapor deposition method	155

Contents

4.3. Preparation of bulk lithium phosphate oxynitrides (in the form of glasses)	157
4.4. Structure peculiarities of lithium phosphate oxynitride thin-films	157
4.5. Possible applications of lithium phosphate oxynitride thin-films	167
<i>Chapter 5. SOLID-STATE LITHIUM BATTERIES</i>	171
5.1. Anodic materials	173
5.1.1. Main problems of anodic materials	175
5.2. Cathodic materials	176
5.2.1. Cathodic materials based on transition metal dioxides	177
5.2.2. Cathodic materials based on transition metal chalcogenides	180
5.2.3. LiFePO ₄ – based cathodic materials	180
5.2.4. LiMn ₂ O ₄ – based cathodic materials	181
5.2.5. Cathodic materials based on metal oxides.....	184
5.3. Solid electrolytes	184
5.4. Solid-state sodium batteries	187
<i>Chapter 6. MONOLITHIC SOLID-STATE LITHIUM BATTERIES BASED ON SULFIDE SOLID ELECTROLYTES</i>	190
6.1. Anodic materials for the negative electrode of monolithic solid-state lithium Batteries based on sulfides.....	190
6.2. Catodic materials for the positive electrode of monolithic solid-state lithium batteries	193
6.3. Electrolytes based on sulfides and oxysulfides.....	197
<i>Chapter 7. THICK-FILM LITHIUM BATTERIES BASED ON OXIDES</i>	200
7.1. Thick-film lithium batteries with Li _{3x} La _{2/3-x} TiO ₃ — based electrolyte.....	201
7.2. Thick-film lithium batteries with Li _{1.3} Ti _{1.7} Al _{0.3} (PO ₄) ₃ — based electrolyte.....	203
7.3. Thick-film lithium batteries with Li ₇ La ₅ Zr ₂ O ₁₂ garnet based electrolyte	205
<i>Chapter 8. THIN-FILM LITHIUM BATTERIES BASED ON OXIDES</i>	212
8.1. Anodic materials for thin-film batteries	216
8.1.1. Anodes operating on the basis of conversion reactions	216
8.2. Cathodic materials for thin-film batteries	221
8.2.1. LiMO cathodic materials functioning on the basis of intercalation reactions. Main types of cathodic materials and methods of obtaining them in the form of thin films	221
8.2.2. Thin-film electrodes with olivine structure.....	223
8.2.3. Catodes based on carbon thin films	223
8.3. Properties of the thin-film electrode/electrolyte interface.....	224
8.4. Solide-state thin-film lithium batteries and their main characteristics	225
<i>Chapter 9. LITHIUM-AIR BATTERIES</i>	228
9.1. Operating principle of lithium-air battery	228
9.2. Polymer and polymer-ceramic composites used in lithium-air battery	234
9.3. Inorganic materials based on nonoxide systems, which are used in lithium-air battery.....	235

Contents

9.4. Inorganic materials based on oxide systems, which are used in lithium-air battery.....	236
9.4.1. Use of oxides with perovskite structure in lithium-air battery	237
9.4.2. Use of oxides with NASICON structure in lithium-air battery	239
9.4.3. Use of oxides with garnet structure in lithium-air battery	242
9.4.4. Use of lithium phosphate oxynitride in lithium-air battery	242
9.4.5. Use of protective membranes for the prevention of contact of the ceramic membrane with the anode	243
9.5. Design features of lithium-air battery	245
9.5.1. Problems of air electrode	247
9.5.2. Problems pertaining to the anode and electrolyte	251
9.5.3. Filtering of air from water vapor	254
9.5.4. Specific power of lithium-air battery.....	255
9.6. Laboratory examples of lithium-air battery	257
9.7. Ways of further research of lithium-air battery	263
CONCLUSION	265
SUMMARY	267
LIST OF ADOPTED ABBREVIATIONS	269
REFERENCES	271